

Л-Ч-6

23/X-69

ОБЪЕДИНЕННЫЙ  
ИНСТИТУТ  
ЯДЕРНЫХ  
ИССЛЕДОВАНИЙ

Дубна

13 - 4700



Л.А.Леонов, И.А.Елисеева, В.Ф.Сиколенко

аппаратура высоких энергий

АППАРАТУРА ИНДИКАЦИИ  
И АВТОМАТИЧЕСКОЙ КОРРЕКЦИИ  
ПРОСТРАНСТВЕННОГО ПОЛОЖЕНИЯ ПУЧКА  
ВТОРИЧНЫХ ЧАСТИЦ

1969

**13 - 4700**

*80/9/2 №*

**Л.А.Леонов, И.А.Елисеева, В.Ф.Сиколенко**

**АППАРАТУРА ИНДИКАЦИИ  
И АВТОМАТИЧЕСКОЙ КОРРЕКЦИИ  
ПРОСТРАНСТВЕННОГО ПОЛОЖЕНИЯ ПУЧКА  
ВТОРИЧНЫХ ЧАСТИЦ**

**Направлено в ПТЭ**

## Введение

В работе <sup>/3/</sup> обоснована необходимость индикации и пространственной коррекции пучка вторичных частиц. Там же приведены подробные результаты испытаний разработанной системы и показана эффективность ее использования. В <sup>/4/</sup> описано устройство управления и стабилизации тока корректирующего магнита.

Ниже приводится описание электронной аппаратуры, вырабатывающей корректирующие сигналы и обеспечивающей необходимые преобразования для вывода информации на одноточечный стандартный самописец.

В работах <sup>/1,2/</sup> описаны устройства индикации пространственного положения пучка, использующие аналоговые схемы обработки и запоминания информации, поступающей с ускорителя. Поскольку информация о параметрах пучка ускорителя поступает в виде дискретных сигналов, неизбежны накопления некоторых погрешностей при преобразовании дискретных величин в аналоговые, а также появление искажений информации при обработке аналоговых сигналов вследствие нелинейности и нестабильности электронных схем, работающих в режиме постоянного тока.

Наибольшие потери информации могут появиться в схемах запоминания, особенно при сравнительно низкой частоте повторения циклов ускорения (около 8-10 сек).

Системы, построенные на принципе обработки дискретных сигналов, в значительной мере свободны от перечисленных выше недостатков и позволяют использовать стандартные элементы, применяемые в вычислительной технике, что намного сокращает время разработки аппаратуры.

#### Функциональная схема

Функциональная схема аппаратуры приведена на рис. 1. Выходные импульсы детекторов частиц (сч. 1 + сч.4) поступают на декадные счётчики  $N_1 \div N_4$  через электронные ключи  $K_1 \div K_4$ , открываемые на время существования пучка стробирующим импульсом 1. Счётчики  $N_1 \div N_4$  фиксируют количество частиц, попадающих в соответствующие детекторы, расположенные в контролируемом пространстве перед объектом облучения. Для обеспечения большей достоверности пространственное положение пучка определяется при наборе статистики в течение некоторого числа циклов, когда общее количество частиц, попавших во все детекторы, становится равным  $\Sigma N$ . Завершение набора статистики вызывает приход запрещающего сигнала на ключ  $K_5$ , что прекращает поступление импульсов с детекторов частиц на счётчики  $N_1 \div N_4$  и определяет начало работы электронного коммутатора. Электронный коммутатор управляет программой обработки результатов измерений, накопленных в декадных счётчиках. Коммутатор представляет собой регистр, состоящий из трех триггеров с диодной матрицей, образующих электронный переключатель на шесть положений. В первых

четырех положениях с частотой поступления импульса запуска физической аппаратуры (8 + 10) сек производится последовательный опрос аналоговых преобразователей каждого счётчика с помощью контактов герметичных реле  $P_1 \div P_4$ . Напряжения преобразователей, пропорциональные числам, зафиксированным на счётчиках, записываются на диаграмме самописца типа ЭПП-0,9М3 (скорость пробега каретки 2 сек). В пятом положении переключателя включается схема вычитания, определяющая разность в показаниях счётчиков  $N_2$  и  $N_3$ . Величина этой разности записывается на счётчике  $N_2 - N_3$ . Знак разности определяет направление воздействия коррекции (влево или вправо). Для исключения неоправданных коррекций при малых значениях разности  $N_2 - N_3$ , возникающих вследствие статистической флуктуации интенсивности облучения детекторов и изменений эффективности регистрирующей аппаратуры или малых изменений положения пучка, в систему выработки корректирующих сигналов введена зона нечувствительности. Корректирующие сигналы вырабатываются лишь в том случае, если разность  $N_2 - N_3$  составляет 10% от суммы  $\Sigma N$ . Количество корректирующих шагов  $K$  после одного цикла измерений зависит от величины разности  $\Delta N = N_2 - N_3$ ; число коррекций равно:

$$K = 1 \text{ при } 0,1 \leq \frac{\Delta N}{\Sigma N} < 0,2,$$

$$K = 2 \text{ при } 0,2 \leq \frac{\Delta N}{\Sigma N} < 0,3$$

и т.д.

Корректирующие импульсы поступают на систему управления магнитом.

### Схема вычитания

Отличительной особенностью описываемой аппаратуры является то обстоятельство, что при ее разработке максимально использовались стандартные устройства. В качестве счётчиков  $N$  могут быть применены любые декадные счётчики, имеющие выход на цифропечать и соответствующие характеристикам применяемых детекторов. Нами использовались декадные счётчики, описанные в <sup>/5/</sup>. Для осуществления возможности использования стандартных декад без изменения их схем, была применена схема, выполняющая функции вычитания (см. рис. 2). В пятом положении электронного переключателя коммутатора открываются ключи  $K_7$  и  $K_8$ , и серии сдвинутых по фазе импульсов через ключи  $K_9$  и  $K_{10}$  поступают на счётчики  $N_2$  и  $N_3$ . Параллельно входам счётчиков подключены ключи  $K_{11}$ ,  $K_{12}$  и установочные входы триггера  $T_3$  таким образом, что первый приходящий импульс открывает ключ для последующих импульсов своей серии и закрывает ключ для серии импульсов, сдвинутых по фазе. Например, первый импульс с выхода ключа  $K_9$  не может пройти через ключ  $K_{11}$ , поскольку последний открыт, но переводит триггер  $T_3$  в такое положение, что  $K_{11}$  открывается, а  $K_{12}$  закрывается. В следующий момент с генератора  $G$  поступает импульс на ключ  $K_{10}$ , но дальнейшему его прохождению препятствует закрытый ключ  $K_{12}$ . Триггер  $T_3$  вновь переходит в исходное состояние; ключ  $K_{12}$  открывается, а  $K_{11}$  закрывается. Так будет продолжаться до тех пор, пока один из счётчиков  $N_2$  или  $N_3$  не заполнится. Тогда выходной импульс заполненного счётчика закроет свой ключ ( $K_9$  или  $K_{10}$ ), и импульсы, поступающие на вход незаполненного счётчика, будут свободно проходить через ключ своей серии ( $K_{12}$  или  $K_{11}$ ), поступая на счётчик разности  $N_2 - N_3$ . Положение триггера  $T_3$  будет определять знак разности. Емкость счётчика разности опре-

деляет величину зоны нечувствительности. После заполнения этого счётчика через схемы  $I_1$  закрываются ключи  $K_7$  и  $K_8$ , прекращается поступление импульсов с генератора  $G$  на незаполненный счётчик и одновременно вырабатывается корректирующий импульс соответствующего направления. Корректирующий импульс через схему реле времени устанавливает в нуль счётчик разности, ключи  $K_7$  и  $K_8$  открываются, и процесс заполнения незаполненного счётчика продолжается. Если счётчик разности опять заполнится, процесс выработки корректирующего импульса повторится. Так будет продолжаться до заполнения второго счётчика  $N$ , после чего соответствующий ключ ( $K_{10}$  или  $K_9$ ) закроется и поступление импульсов на счётчики с генератора  $G$  будет прекращено. Шестое положение переключателя устанавливает все счётчики в исходное состояние, и процесс набора статистики возобновляется. В рассматриваемом случае емкость счётчиков  $N_2$  и  $N_3$  – два десятичных разряда, емкость счётчика разности – один десятичный разряд.

Недостатком предлагаемой схемы вычитаний является возможность появления ошибки в одну единицу счёта при определении разности. Причиной этой ошибки служит отсутствие корреляции между начальным положением триггера знака и последовательностью заполнения счётчиков импульсами генератора  $G$ . Однако применительно к рассматриваемому случаю наличие такой ошибки не существенно.

### Реле времени

Длительность корректирующего импульса определяет изменение тока в магните и контролируется реле времени. Для получения стабильной длительности импульса в пределах нескольких секунд была разработана схема, приведенная на рис. 3. Диод  $D_1$  заперт положительным напряжением +26 в. После срабатывания перекидного контакта  $1P$  про-

исходит изменение знака на емкости С1. Таким приемом обеспечивается большая крутизна экспоненты в области порога отпирания диода Д1. Для более чёткого фиксирования момента отпирания диода через накопительную емкость подаются отрицательные импульсы, которые поступают на усилитель, выполненный на транзисторе ПТ1.

Усиленные и изменившиеся по фазе импульсы поступают на запуск тиристорного генератора. Выдержка времени (длительность импульса) регулируется с помощью переменного резистора R3. При емкости С1, равной 1 мкф, выдержка времени регулируется в пределах от 0,5 до 2 сек. При необходимости получения больших значений выдержки времени не нужно увеличить емкость С1. Конденсатор С1 должен иметь высокое значение сопротивления изоляции.

#### Аналоговый преобразователь

На самописце записывается напряжение, пропорциональное двухразрядному числу на декадных счётчиках. Для управления аналоговым преобразователем использованы выводы на цифровечать с декадных счётчиков, характеризующихся тем, что на выходах, соответствующих цифрам "1", "2", "4", "8", появляются напряжения  $-10^{\text{в}}/5/$ . Эти напряжения управляют через эмиттерные повторители ПТ1-ПТ4 (рис. 4) диодными ключами Д5-Д12. Токи через диодные ключи изменяются по закону  $2^n$ . Суммирование токов происходит на резисторах R17 и R18. Падение напряжения на резисторе R18 от одной единицы счёта соответствует 0,1 мв при использовании самописца, дающего отклонение на всю шкалу при 10 мв входного напряжения (ЭПП-0,9). На резистор R17 подается выходной ток ключей аналогового преобразователя, выполненного по схеме рис. 4, но подключенного к декаде старшего разряда.

Установка необходимых соотношений токов через ключи достигается с помощью резисторов R10, R12, R14, R16.

Пример записи на ленте самописца гистограммы распределения интенсивности между счётчиками N1-N4 приведен на рис. 5.

#### Заключение

1. Приведенная схема индикации и автоматической коррекции пространственного положения пучка разработана с применением типовых элементов вычислительной техники дискретного счёта. Вследствие этого появляется возможность максимального использования уже имеющегося оборудования мониторирования каналов (детекторов, схем пропускания, счётчиков ("пересчётных схем") и т.п.). Дополнительные схемы могут быть составлены из стандартных ячеек или модулей, применяемых в вычислительной технике (логические схемы ИЛИ, И, ключи, триггеры и т.п.).

2. В случаях регистрации пучков больших интенсивностей для индикации на самописце и управления положением пучка могут быть использованы лишь старшие разряды счётчиков.

#### Л и т е р а т у р а

1. G.Amato, G.Petrucci, CERN 68-33, August 1968.
2. В.А.Королев, Ю.В.Требуховский, ПТЭ, №2, 82-85 (1969).
3. В.В.Глаголев, И.А.Елисеева, Р.М.Лебедев, Л.А.Лёонов, Б.Д.Омельченко, И.С.Сайтов, В.Ф.Сиколенко. Препринт ОИЯИ, 13-4699, Дубна, 1969.
4. Б.Д.Омельченко. Препринт ОИЯИ, 13-4222, Дубна, 1969.
5. А.Г.Грачев, С.С.Кириллов. Препринт ОИЯИ, 1922, Дубна, 1964.

Рукопись поступила в издательский отдел

9 сентября 1969 года.

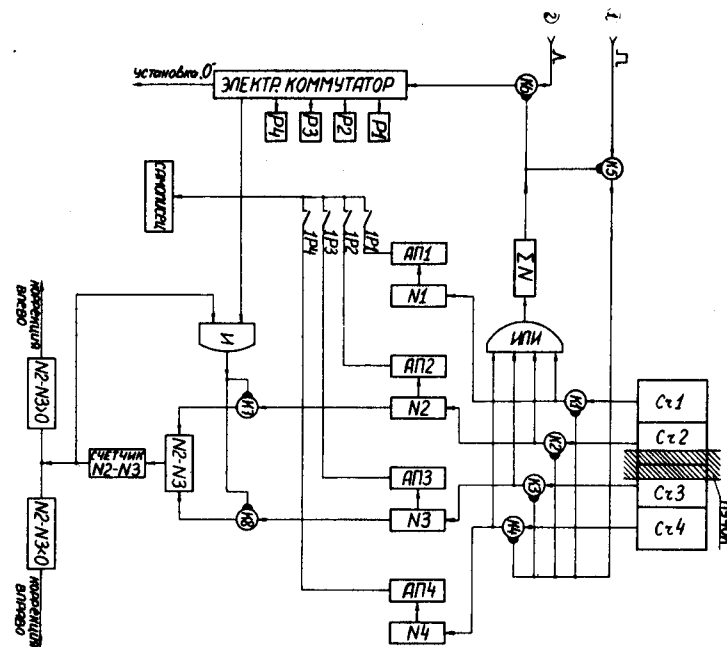


Рис. 1. Функциональная схема аппаратуры индикации и автоматической коррекции пространственного положения пучка вторичных частиц. Сч 1 - Сч 4 - детекторы частиц; К1 - К8 - электронные ключи; N1 - N4 - декадные счётчики; АП1 - АП4 - аналоговые преобразователи;  $\Sigma N$  - декадный счётчик общей интенсивности; N2 - N3 - схема вычитания; 1 - стробирующий импульс; 2 - импульс запуска физической аппаратуры.

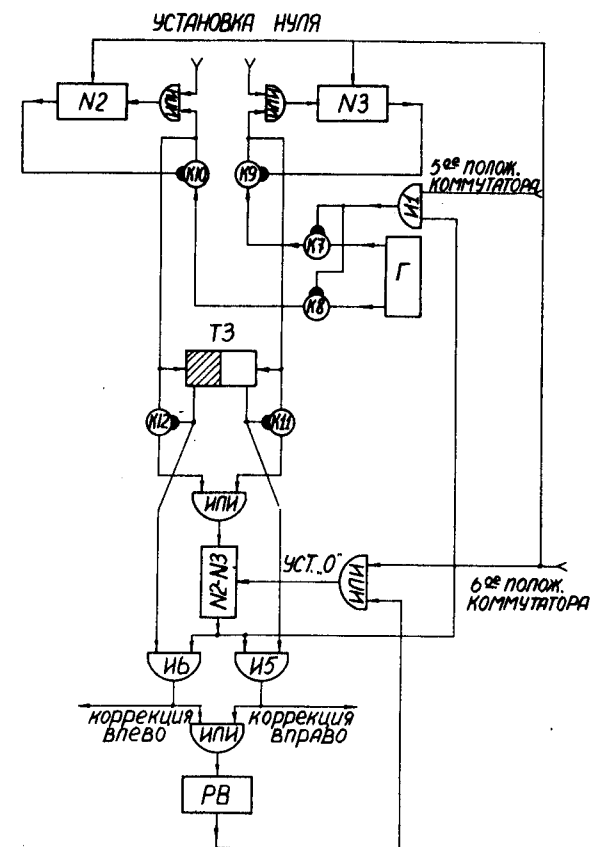


Рис. 2. Функциональная схема вычитающего устройства. Т3 - триггер знака; Р.В. - реле времени; Г - генератор; N2, N3 - декадные счётчики; K7-K12 - электронные ключи.

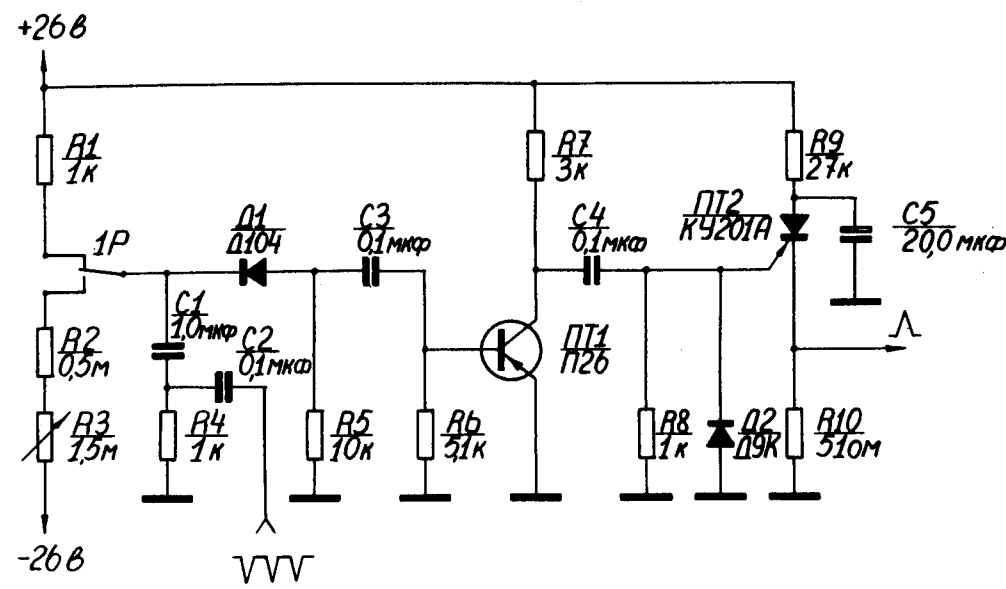


Рис. 3. Принципиальная схема реле времени.

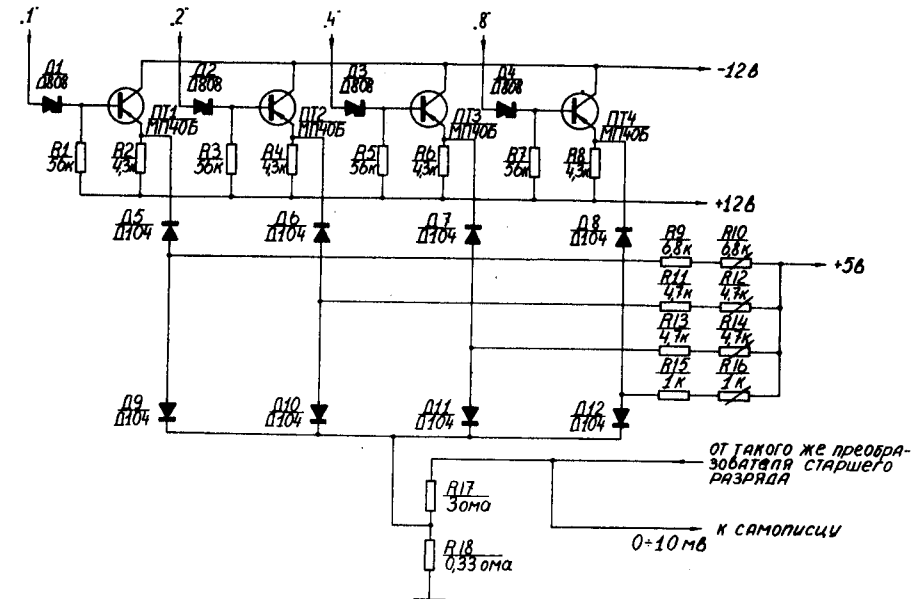


Рис. 4. Принципиальная схема аналогового преобразователя. "1", "2", "4", "8" – выходы на цифровую печать с декадного счётика.

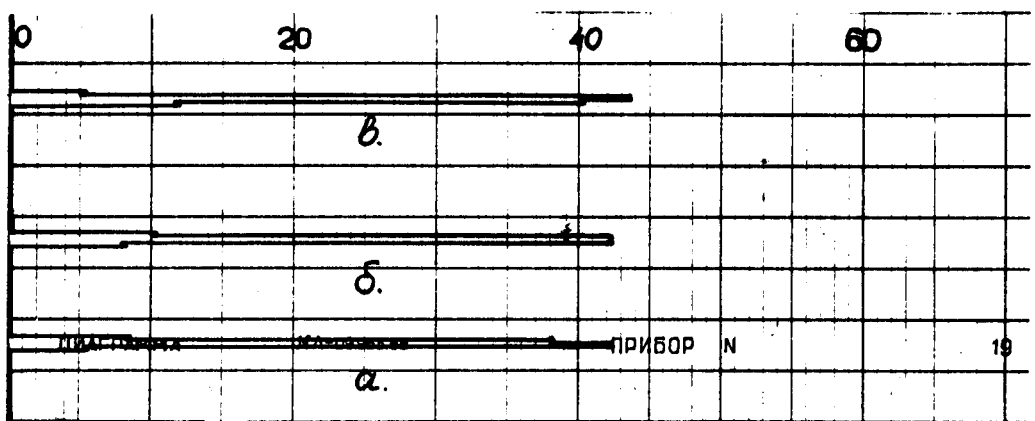


Рис. 5. Гистограмма распределения интенсивности между счётчиками, записанная самописцем; а) пучок смещен влево; б) пучок в центре; в) пучок смещен вправо.